

ПАРАМЕТРЫ УДАРНОЙ ВОЛНЫ И ГАЗОВОГО ПУЗЫРЯ ПРИ  
ПОДВОДНОМ ВЗРЫВЕ ЗАРЯДОВ РАЗНОЙ ПЛОТНОСТИ  
ИЗ ТЭНА И АЗИДА СВИНЦА

Б. Д. Христофоров

(Москва)

Приводятся результаты измерения параметров ударной волны и газового пузыря в условиях подводного взрыва тэна при плотности зарядов  $\rho = 1.6 \pm 0.4 \text{ г/см}^3$  и азиды свинца с  $\rho = 1.6$  и  $0.85 \text{ г/см}^3$ .

Работа проводилась для определения влияния условий выделения энергии в результате детонации ВВ на параметры взрыва.

При понижении плотности ВВ уменьшается скорость детонации и начальное давление  $P_0$  на границе заряд — вода.

При переходе от зарядов из тэна с плотностью  $\rho = 1.6 \text{ г/см}^3$  к азиду свинца с  $\rho = 0.85 \text{ г/см}^3$   $P_0$  изменялось от 150 000 до 12 000 атм.

Отмечается значительные отступления от закона энергетического подобия у параметров ударной волны и газового пузыря не только в ближней к заряду зоне, но и в области асимптотики.

В литературе в настоящее время нет данных о подводном взрыве азиды свинца, а взрыв тэна исследовался лишь при  $\rho = 1.6 \pm 1.54 \text{ г/см}^3$  [1,2].

1. Методика. Опыты проводились в стальном баке с водой размером  $1.5 \times 1.5 \times 1.0 \text{ м}^3$ , имеющем смотровые окна из оптического стекла.

Ударные волны в диапазоне от 20 до 200 радиусов заряда  $R_0$  регистрировались турмалиновыми датчиками давления с диаметром чувствительного элемента от 1 до 2 мм. Индикаторы тарировались при взрыве зарядов из тэна с плотностью  $\rho = 1.6 \text{ г/см}^3$ , для которых известна зависимость давления во фронте ударной волны от расстояния [2].

Для записи сигнала от индикаторов применялись осциллографические установки ПИД-9, разработанные в Ин-те хим. физики АН СССР. Верхняя граничная частота измерительного тракта приборов 300 кгц.

В диапазоне от 1 до 6 радиусов заряда фотографировалось движение фронта ударной волны прибором ЖФР [3] в параллельном пучке проходящего света шлирно-теневым методом.

Максимальное давление в ударной волне в этой области вычислялось по скорости ее фронта, которая определялась графическим дифференцированием кривых  $R = R(t)$  на шлирно-теневых фотографиях. При этом использовалось уравнение состояния воды [4].

Движение газового пузыря фотографировалось на приборе ЖФР в интервале  $0 \leq t \leq 100 \text{ мксек}$  и на специальном барабане, который позволял производить покадровую съемку на движущуюся пленку в интервале от 100 мксек и до конца его первой пульсации.

В опытах применялись прессованные и насыпные заряды ВВ. Плотность насыпных зарядов азиды свинца была  $\rho = 1.6$  и  $0.85 \text{ г/см}^3$ , а у тэна  $\rho = 0.4 \text{ г/см}^3$ .

Насыпные ВВ обычно помещались в сферическую оболочку из алюминиевой фольги толщиной 0.15 мм. В нескольких опытах, для проверки влияния оболочки на действие взрыва под водой, ВВ насыпалось в тонкую ацетатную пленку. Не было обнаружено никаких различий в параметрах ударной волны и газового пузыря при изменении типа оболочки.

Прессованные заряды из тэна имели плотность  $\rho = 1.6, 1.5, 1.4, 1.2 \text{ г/см}^3$ .

Детонатором служила навеска азота свинца, помещенная в центре заряда, весом около 20 мг. Инициирование осуществлялось взрывом магнитной проволочки толщиной 0.05 мм, пропущенной сквозь заряд при прохождении через нее импульса тока. Энергия электрического импульса составляла около 3 кал.

Использовались заряды из тэна весом от 0.2 до 2.5 г и азота свинца от 1.3 до 7 г.

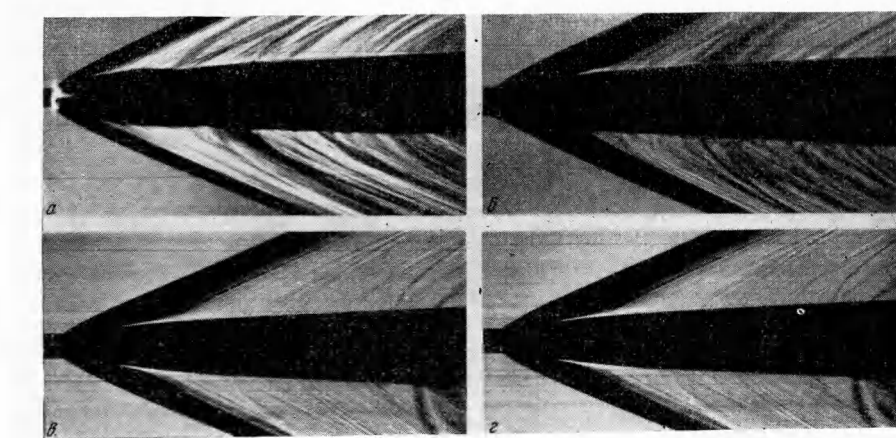
**2. Параметры ударной волны.** Для удобства изложения введены следующие обозначения:  $R / C^{1/2} = R^{\circ} m / kg^{1/2}$  — приведенное расстояние между зарядом и датчиком;  $\theta / C^{1/2} = \theta^{\circ} sek / kg^{1/2}$  — приведенная постоянная времени ударной волны;  $I / C^{1/2} = I^{\circ} kgsec / m^2 kg^{1/2}$  — приведенный импульс ударной волны;  $\epsilon = E / C$  ккал / кг — удельная энергия ударной волны.

a) *Осциллограммы ударной волны в воде.* На фиг. 1 приведены построенные по экспериментальным осциллограммам кривые 1–4, выражающие зависимость давления от времени в ударной волне при подводном взрыве зарядов из тэна с  $\rho = 1.5$  и  $0.4 g / cm^3$  и зарядов азота свинца с  $\rho = 1.6$  и  $0.85 g / cm^3$ , соответственно.

Энергия взрыва и расстояние до указанных зарядов одинаковы, однако характер изменения давления со временем зависит от типа ВВ и его плотности.

При переходе от тэна к взрыву азота свинца и с уменьшением плотности ВВ максимальное давление  $P$  понижается, а постоянная времени волны увеличивается. При  $t \geq (1 \div 2) \theta$  давление в волне, напротив, увеличивается при переходе от взрыва тэна к азоту свинца и с уменьшением плотности заряда.

Зависимость давления от времени в диапазоне  $0 \leq t \leq \theta$  можно представить в виде экспоненты  $p(t) = pe^{-t/\theta}$ . При  $t \geq \theta$  давление  $p(t)$  изменяется со временем по степенному закону.



Фиг. 1

Фиг. 2

b) *Скорость фронта ударной волны в воде.* На фиг. 2, а — г приведены шлифро-теневые фотографии развития во времени подводного взрыва

зарядов из тэна плотностью  $\rho = 1.5$  и  $0.4 \text{ г} / \text{см}^3$ , а также азида свинца при плотности  $\rho = 1.6$  и  $0.85 \text{ г} / \text{см}^3$ , соответственно.

На фиг. 3 приведены графики зависимости скорости фронта  $N$  от приведенного расстояния  $R^\circ$  для зарядов из тэна весом от 0.5 до 2.5 г в диапазоне  $0.053 \leq R^\circ \leq 0.5$ , на фиг. 4 — для зарядов азида свинца весом от 2 до 6.7 г в диапазоне  $0.053 \leq R^\circ \leq 0.36$ .

Цифрами 1, 2, 3 и 4 на фиг. 3 отмечены данные, полученные при взрыве зарядов плотностью 1.2, 1.54, 1.6 и  $0.4 \text{ г} / \text{см}^3$  соответственно.

Из графика фиг. 3 видно, что с точностью до ошибки эксперимента данные для прессованных зарядов из тэна с  $\rho = 1.6$  и  $1.2 \text{ г} / \text{см}^3$  ложатся на одну кривую, той же кривой можно описать данные для тэна плотностью  $\rho = 1.54 \text{ г} / \text{см}^3$ , полученные Костюченко. В то же время экспериментальные точки для тэна с  $\rho = 0.4 \text{ г} / \text{см}^3$  лежат значительно ниже во всем исследованном диапазоне приведенных расстояний.

Кривая 2 для скорости фронта ударной волны при подводном взрыве зарядов из азида свинца плотностью  $\rho = 0.85 \text{ г} / \text{см}^3$  лежит ниже и нигде в исследуемом диапазоне не пересекается с кривой 1 для  $\rho = 1.6 \text{ г} / \text{см}^3$  (фиг. 4).

б) *Давление во фронте ударной волны.* На фиг. 5 по средним экспериментальным данным построены графики зависимости максимального давления  $p$  от приведенного расстояния  $R^\circ$  в диапазоне  $0.053 \leq R^\circ \leq 10 \text{ м} / \text{кг}^{1/3}$ .

Цифрами 1—4 отмечены экспериментальные данные, полученные при взрыве тэна плотностью 1.54, 1.2, 1.6 и  $0.4 \text{ г} / \text{см}^3$ , а цифрами 5—6 —

данные для азида свинца с  $\rho = 1.6$  и  $0.85 \text{ г} / \text{см}^3$ , соответственно.

Ошибка в определении максимального давления во всем исследованном диапазоне не превышает 10%.

Зависимость давления во фронте ударной волны от расстояния для зарядов плотностью 1.6 и  $1.2 \text{ г} / \text{см}^3$  из тэна описывается общей кривой 1. Данные Костюченко [1] при  $\rho = 1.54 \text{ г} / \text{см}^3$  согласуются с рассматриваемыми.

При переходе от взрыва тэна к взрыву азида свинца и понижения плотности ВВ давление во фронте ударной волны понижается и более медленно затухает с расстоянием.

При изменении веса заряда в 10 раз для тэна и в 4 раза для азида свинца соблюдаются условия геометрического подобия.

Кривые I—IV на фиг. 5 с точностью до разброса данных можно описать эмпирическими формулами ( $p$  в атм, а  $R^\circ$  в  $\text{м} / \text{кг}^{1/3}$ )

$$\text{тэн } \rho = 1.6 \div 1.2 \text{ г} / \text{см}^3 \quad (2.1)$$

$$0.053 \leq R^\circ \leq 0.11, \quad p = \frac{22}{(R^\circ)^3}$$

$$0.11 \leq R^\circ \leq 0.30, \quad p = \frac{210}{(R^\circ)^2}$$

$$0.3 \leq R^\circ \leq 15, \quad p = \frac{645}{(R^\circ)^{1.2}}$$

$$0.053 \leq R^\circ \leq 15, \quad p = \frac{16}{(R^\circ)^3} + \frac{604}{(R^\circ)^{1.13}}$$



Фиг. 3

тэн  $\rho = 0.4 \text{ г/см}^3$ 

(2.2)

$$\begin{aligned} 0.084 &\leq R^\circ \leq 0.11, & p &= \frac{12.5}{(R^\circ)^3} \\ 0.11 &\leq R^\circ \leq 0.20, & p &= \frac{125}{(R^\circ)^2} \\ 0.2 &\leq R^\circ \leq 10, & p &= \frac{500}{(R^\circ)^{1.13}} \end{aligned}$$

азид свинца  $\rho = 1.6 \text{ г/см}^3$ 

(2.3)

$$\begin{aligned} 0.06 &\leq R^\circ \leq 0.20, & p &= \frac{63}{(R^\circ)^2} \\ 0.2 &\leq R^\circ \leq 10, & p &= \frac{285}{(R^\circ)^{1.08}} \end{aligned}$$

азид свинца  $\rho = 0.85 \text{ г/см}^3$ 

(2.4)

$$\begin{aligned} 0.07 &\leq R^\circ \leq 0.18, & p &= \frac{42}{(R^\circ)^2} \\ 0.18 &\leq R^\circ \leq 10, & p &= \frac{230}{(R^\circ)^{1.08}} \end{aligned}$$

Из приведенных формул следует, что максимальное давление и характер его изменения с расстоянием в диапазоне  $0.053 \leq R^\circ \leq 10$  существенно зависят от условий детонации ВВ.

С уменьшением скорости детонации уменьшается как величина  $p$ , так и показатель затухания давления  $a$  с расстоянием в области асимптотики.

Энергетическое подобие по максимальному давлению в ударной волне при подводном взрыве имеет место лишь при одинаковых условиях выделения энергии в процессе детонации.

г) Постоянная времени спада давления  $\theta$  за фронтом ударной волны.

Как уже отмечалось, из экспериментальных осцилограмм, полученных в диапазоне  $0.8 \leq R^\circ \leq 10$ , следует, что давление в ударной волне изменяется со временем по экспоненте  $p(t) = pe^{-t/\theta}$  при  $0 \leq t \leq \theta$ .

Исходя из этого, было сделано предположение, что и в ближней к заряду области, где прямых измерений давления в ударной волне не проводилось, вблизи ударного фронта имеет место экспоненциальное затухание давления со временем. При этом

$$\frac{1}{\theta} = -\frac{\partial p}{\partial t} \frac{1}{p}$$

Решая уравнения гидродинамики (2.5) совместно с условиями на фронте (2.6) относительно частных производных при помощи уравнения состояния воды [4], была получена формула для постоянной времени  $\theta^\circ$  ударной волны в диапазоне  $0.053 \leq R^\circ \leq 0.30$

$$\begin{aligned} \frac{1}{a^2} \frac{\partial p}{\partial t} + \frac{2\rho u}{R} - \rho \frac{\partial u}{\partial R} + \frac{u}{a^2} \frac{\partial p}{\partial R} &= 0 \\ \rho \frac{\partial u}{\partial t} + \rho u \frac{\partial u}{\partial R} + \frac{\partial p}{\partial R} &= 0 \end{aligned} \quad (2.5)$$

$$\frac{du}{dR} = \frac{\partial u}{\partial R} + \frac{1}{N} \frac{\partial u}{\partial t}, \quad \frac{dp}{dR} = \frac{\partial p}{\partial R} + \frac{1}{N} \frac{\partial p}{\partial t} \quad (2.6)$$



Фиг. 4

$$\theta^\circ = \frac{\left[1 - \left(\frac{N-u}{a}\right)^2\right] \frac{R^\circ}{N}}{\alpha \left(1 + \frac{N-u}{a^2} u + \frac{1}{1-u/N} - \frac{2}{\alpha} - \frac{P}{N} \frac{dN}{dp} \frac{1}{1-u/N}\right)} \quad (2.7)$$

$$\left(\alpha = -\frac{dp}{dR} \frac{R}{p}\right)$$

Здесь  $a$  и  $u$  — скорость звука и воды на фронте ударной волны, соответственно.

Величина  $\alpha$  определялась графическим дифференцированием кривых на фиг. 5.

На фиг. 6 по средним экспериментальным точкам, подсчитанным по формуле (2.7) и полученным при обработке экспериментальных осциллографов, построены графики  $\theta^\circ = f(R^\circ)$  в диапазоне  $0.053 \leq R^\circ \leq 10$  для тэнна с  $\rho = 1.6 \text{ г/см}^3$  и азида свинца с  $\rho = 1.6$  и  $0.85 \text{ г/см}^3$  (кривые I—IV), соответственно. У всех типов ВВ для каждой плотности заряжения наблюдается обычное геометрическое подобие при изменении веса заряда в указанных выше пределах. Зависимость  $\theta^\circ$  от расстояния характеризуется для всех ВВ быстрым ростом  $\theta^\circ$  в диапазоне  $0.053 \leq R^\circ \leq 1$  (в 30—100 раз).

При  $1^\circ \leq R \leq 10^\circ$  меняется не более чем в 1.5—2 раза, как это следует из эмпирических формул, которые с точностью  $\sim 10\%$  описывают экспериментальные данные в этом диапазоне:

$$\text{тэн} \begin{cases} \rho = 1.6 - 1.2 \text{ г/см}^3, & \theta^\circ = 0.85 \cdot 10^{-4} (R^\circ)^{0.3} \\ \rho = 0.4 \text{ г/см}^3, & \theta^\circ = 1.2 \cdot 10^{-4} (R^\circ)^{0.2} \end{cases}$$

$$\text{азид} \begin{cases} \rho = 1.6 \text{ г/см}^3, & \theta^\circ = 1.25 \cdot 10^{-4} (R^\circ)^{0.1} \\ \rho = 0.85 \text{ г/см}^3, & \theta^\circ = 1.6 \cdot 10^{-4} (R^\circ)^{0.1} \end{cases} \quad (2.8)$$

При переходе от взрыва тэнна к азиду свинца и с понижением плотности ВВ постоянная времени  $\theta^\circ$  увеличивается на 30—45%.

д) Удельный импульс  $I^\circ$  ударной волны определялся интегрированием ее энтурии в пределах  $0 \leq t \leq 5.5 \theta$ . Величина  $\theta$  для каждого типа ВВ определялась из графиков фиг. 6.

Приводятся данные в диапазоне  $0.8 \leq R^\circ \leq 10$ .

На фиг. 7 приведены эксперимен-



Фиг. 5

тальные кривые  $I^\circ = f(R^\circ)$  при взрыве тэнна с  $\rho = 1.6$  и  $0.4 \text{ г/см}^3$  и азида свинца при  $\rho = 1.6$  и  $0.85 \text{ г/см}^3$ , соответственно.

С точностью до разброса, который не превышал в среднем 10%, результаты опытов можно описать следующими эмпирическими формулами:

$$\text{тэн} \left\{ \begin{array}{l} \rho = 1.6 \div 1.2 \text{ г/см}^3, \\ \rho = 0.4 \text{ г/см}^3 \end{array} \right. \quad I^\circ = \frac{772}{(R^\circ)^{0.92}} \quad (2.10)$$

$$\text{азид свинца} \left\{ \begin{array}{l} \rho = 1.6 \text{ г/см}^3, \\ \rho = 0.85 \text{ г/см}^3, \end{array} \right. \quad I^\circ = \frac{440}{(R^\circ)^{0.92}} \quad (2.11)$$

$$\frac{475}{(R^\circ)^{0.92}}$$

При уменьшении плотности ВВ, как это следует из формул (2.10), (2.11) импульс ударной волны увеличивается для тэна примерно на 35%, а для азода свинца на 8%.

Для каждого ВВ при постоянной плотности зарядов имеет место обычно геометрическое подобие при изменении веса заряда.

е) Удельная энергия  $\varepsilon$  ударной волны определялась при обработке экспериментальных осциллограмм по формуле (2.12) в диапазоне  $0.8 \leq R^\circ \leq 10$

$$\varepsilon = \frac{4\pi(R^\circ)^2}{\rho a C^{1/2}} \int_0^{5.50} p(t) dt \quad (2.12)$$

При этом пренебрегается величиной гидростатического давления и энергией, связанной с расходящимся потоком несжимаемой жидкости, так как последняя была  $\sim 5\%$  от  $\varepsilon$ .

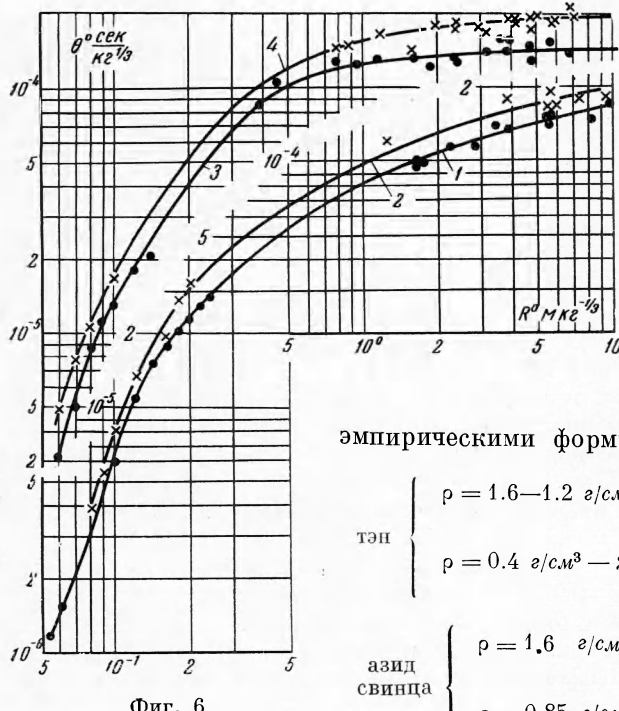
На фиг. 8 приведены средние значения энергии ударной волны  $\varepsilon$  в зависимости от приведенного расстояния  $R^\circ$  при взрыве тэна и азода свинца (кривые 1—4), которые могут быть описаны следующими

$$\text{тэн} \left\{ \begin{array}{l} \rho = 1.6 - 1.2 \text{ г/см}^3 - 1, \\ \rho = 0.4 \text{ г/см}^3 - 2, \end{array} \right. \quad \varepsilon = \frac{505}{(R^\circ)^{0.16}} \quad (2.13)$$

$$\text{азид свинца} \left\{ \begin{array}{l} \rho = 1.6 \text{ г/см}^3 - 3, \\ \rho = 0.85 \text{ г/см}^3 - 4, \end{array} \right. \quad \varepsilon = \frac{492}{(R^\circ)^{0.085}} \quad (2.14)$$

$$\varepsilon = \frac{118}{(R^\circ)^{0.09}} \quad (2.14)$$

$$\varepsilon = \frac{105}{(R^\circ)^{0.09}} \quad (2.14)$$



Фиг. 6

Экстраполяция кривых для тэна до заряда в соответствии с формулами (2.13) и (2.14) дает значение начальной энергии ударной волны

$$\varepsilon_0 = 840 \text{ ккал/кг для } \rho = 1.6 - 1.2 \text{ г/см}^3$$

$$\varepsilon_0 = 610 \text{ ккал/кг для } \rho = 0.4 \text{ г/см}^3$$

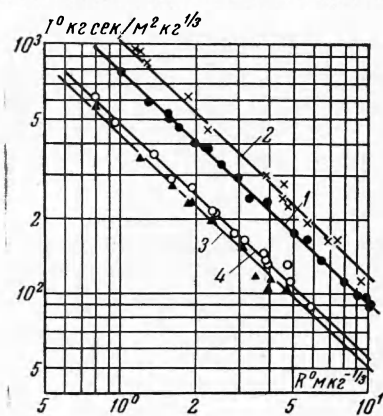
Эти значения при теплоте взрыва тэна  $Q = 1400 \text{ ккал} / \text{кг}$  равны, соответственно, 60 и 44% полной энергии взрыва.

Такая же экстраполяция для азота свинца дает на границе с зарядом значения начальной энергии ударной волны в воде соответственно равные 155 и 132  $\text{ккал}/\text{кг}$ ; эти значения при теплоте взрыва  $Q=365 \text{ ккал}/\text{кг}$  представляет собой 42.5 и 36 % полной энергии взрыва, соответственно, при  $\rho = 1.6 \text{ г} / \text{см}^3$ .

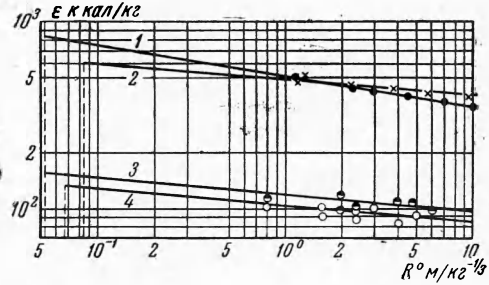
Выход энергии в ударную волну, составляющий по вышеприведенной оценке для прессованных зарядов из тэна 60% полной энергии, находится в удовлетворительном согласии с величиной 57%, полученной в работе [2] для тэна плотностью  $\rho = 1.6 \text{ г} / \text{см}^3$ , исходя из максимального радиуса и периода первой пульсации газового пузыря.

При  $R^\circ = 10$  в ударной волне остается лишь 40–60% ее начальной энергии. С увеличением мощности взрыва возрастает как начальная энергия ударной волны  $\epsilon_0$ , так и ее диссипация с расстоянием. Это приводит

к тому, что в конце исследуемого диапазона при взрыве тэна с  $\rho = 0.4 \text{ г} / \text{см}^3$  энергия в ударной волне на 15% больше величины  $\epsilon$  для тэна с  $\rho = 1.6$ — $1.2 \text{ г} / \text{см}^3$ .



Фиг. 7



Фиг. 8

При взрыве азота свинца с  $\rho = 1.6 \text{ г} / \text{см}^3$  энергия в ударной волне во всем исследованном диапазоне остается больше величины  $\epsilon$ , полученной с плотностью  $\rho = 0.85 \text{ г} / \text{см}^3$ , примерно на 10%.

Энергия ударной волны слабо зависит от типа ВВ и плотности заряда в диапазоне  $0.8 \leq R^\circ \leq 10$ .

Начальная энергия уменьшается на 40% при переходе от тэна с плотностью  $\rho = 1.6 \text{ г} / \text{см}^3$  к тену с  $\rho = 0.4 \text{ г} / \text{см}^3$ .

Поэтому при снижении мощности взрыва меньше его энергии уходит на бесполезное нагревание воды и больше остается на совершение ударной волной полезной работы.

**3. Параметры газового пузыря при подводном взрыве.** Введем следующие обозначения:

$r^\circ = r / C^{1/2} \text{ м} / \text{кг}^{1/2}$  — приведенный радиус газового пузыря;

$t^\circ = t / C^{1/2} \text{ мсек} / \text{кг}^{1/2}$  — приведенное время;

$r_m$  — максимальный радиус газового пузыря;

$T \text{мсек}$  — период его первой пульсации.

Отмеченные параметры газового пузыря при испытаниях измерялись с точностью  $\sim 1 \div 2\%$ .

a) *Расширение газового пузыря в течение его первой пульсации* показано на графиках фиг. 9–10.

Кривые 1–3 на фиг. 9 соответствуют взрыву зарядов из тэна плотностью  $\rho = 0.4, 1.6 \text{ г} / \text{см}^3$  и азота свинца с  $\rho = 1.6 \text{ г} / \text{см}^3$ , соответственно.

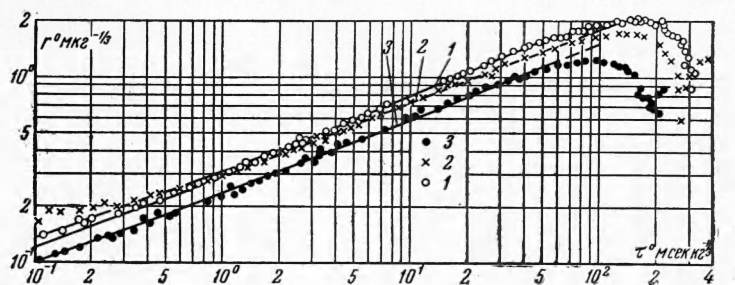
На фиг. 10 кривые 1 и 2 относятся к зарядам из тэна с  $\rho = 1.2 \text{ г} / \text{см}^3$  и азота свинца с  $\rho = 0.85 \text{ г} / \text{см}^3$ .

В интервале  $0 \leq t \leq T/4$  имеют место формулы:

$$\text{тэн} \left\{ \begin{array}{l} \rho = 1.6 - 1.5 \text{ г/см}^3, \quad r^\circ = 0.053 (1 + 68.5 \tau^\circ)^{0.4} \\ \rho = 1.2 \text{ г/см}^3, \quad r^\circ = 0.0585 (1 + 52.0 \tau^\circ)^{0.405} \\ \rho = 0.4 \text{ г/см}^3, \quad r^\circ = 0.084 (1 + 20.6 \tau^\circ)^{0.420} \end{array} \right. \quad (3.1)$$

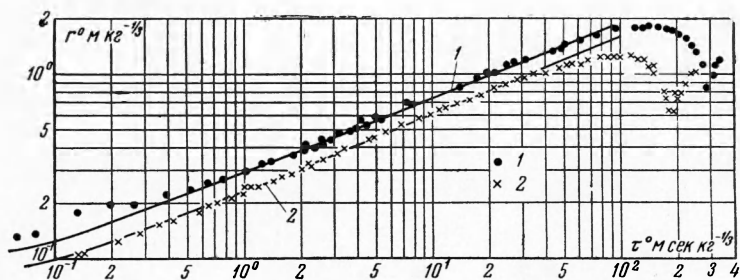
$$\text{азид свинца} \left\{ \begin{array}{l} \rho = 1.6 \text{ г/см}^3, \quad r^\circ = 0.053 (1 + 38 \tau^\circ)^{0.406} \\ \rho = 0.85 \text{ г/см}^3, \quad r^\circ = 0.06 (1 + 22 \tau^\circ)^{0.425} \end{array} \right. \quad (3.2)$$

При взрыве прессованных зарядов из тэна с  $\rho = 1.6 - 1.2 \text{ г/см}^3$  вблизи заряда экспериментальные точки отклоняются от законов (3.1). При этом получаются настолько завышенные значения радиуса пузыря, что нарушается закон сохранения массы для воды, заключенной между пузырем и фронтом ударной волны.



Фиг. 9

Расчет показывает, что отклонение видимой границы пузыря от кривых (3.1) имеет место в диапазоне, в котором давление, создаваемое ударной волной, превышает 70 000 атм; при этом температура воды на ударном фронте становится критической  $T^\circ = 272^\circ \text{ С}$ . Граница пузыря в этой области крайне неровная.



Фиг. 10

Можно предположить, что видимая граница пузыря вблизи от заряда на фотографиях не всегда является истинной границей между волной и продуктами. Возможно, что при сверхкритической температуре вода теряет прозрачность. Не исключена также потеря прозрачности из-за образования льда, который имеет место при изотермическом сжатии воды до этих давлений.

При взрыве тэна с  $\rho = 0.4 \text{ г/см}^3$  и азота свинца, когда больших давлений в воде не возникает, наблюдается хорошее согласие данных с приведенными формулами. Граница пузыря при этом гладкая во всем исследуемом интервале.

Дифференцируя формулы (3.1)–(3.2), получим выражения для скорости  $v$  расширения газового пузыря в интервале  $0 \leq t \leq T/4$ :

$$\text{тэн} \left\{ \begin{array}{l} \rho = 1.6 \text{ г/см}^3, \quad v = \frac{1450}{(r/R_0)^{1.50}} \text{ м/сек} \\ \rho = 1.2 \text{ г/см}^3, \quad v = \frac{1230}{(r/R_0)^{1.47}} \text{ м/сек} \\ \rho = 0.4 \text{ г/см}^3, \quad v = \frac{726}{(r/R_0)^{1.38}} \text{ м/сек} \end{array} \right. \quad (3.3)$$

$$\text{азид свинца} \left\{ \begin{array}{l} \rho = 1.6 \text{ г/см}^3, \quad v = \frac{816}{(r/R_0)^{1.47}} \text{ м/сек} \\ \rho = 0.85 \text{ г/см}^3, \quad v = \frac{560}{(r/R_0)^{1.35}} \text{ м/сек} \end{array} \right. \quad (3.4)$$

С ослаблением мощности взрыва начальная скорость продуктов уменьшается, однако с расстоянием скорость пузыря затухает при этом медленнее.

Решая уравнения гидродинамики в приближении несжимаемой жидкости, нетрудно подсчитать скорость расходящегося при расширении пузыря потока воды  $u$ .

При взрыве тэна с плотностью  $\rho = 1.6 \text{ г/см}^3$  имеем при  $L \geq r$

$$u = \frac{1450}{(L/R_0)^2} \left( \frac{r}{R_0} \right)^{0.5} = \frac{1450}{(L/R_0)^2} \left( 1 + 3.64 \frac{t}{R_0} \right)^{0.2} \text{ м/сек} \quad (3.5)$$

где  $L$  — текущая координата,  $r$  — радиус пузыря в данный момент времени,  $R_0$  — радиус заряда.

б) *Максимальный радиус  $r_m$  и период первой пульсации  $T$  газового пузыря.*

Экспериментальные данные можно описать следующими формулами:

$$\text{тэн} \left\{ \begin{array}{l} \rho = 1.6 \div 1.5 \text{ г/см}^3, \quad r_m = 1.76 \left( \frac{C}{p_0} \right)^{1/3}, \quad T = 272 \frac{C^{1/3}}{p_0^{5/6}} \\ \rho = 1.2 \text{ г/см}^3 \quad r_m = 1.83 \left( \frac{C}{p_0} \right)^{1/3}, \quad T = 290 \frac{C^{1/3}}{p_0^{5/6}} \\ \rho = 0.4 \text{ г/см}^3, \quad r_m = 2.04 \left( \frac{C}{p_0} \right)^{1/3}, \quad T = 310 \frac{C^{1/3}}{p_0^{5/6}} \end{array} \right. \quad (3.6)$$

$$\text{азид свинца} \left\{ \begin{array}{l} \rho = 1.6 \text{ г/см}^3, \quad r_m = 1.24 \left( \frac{C}{p_0} \right)^{1/3}, \quad T = 199 \frac{C^{1/3}}{p_0^{5/6}} \\ \rho = 0.85 \text{ г/см}^3, \quad r_m = 1.26 \left( \frac{C}{p_0} \right)^{1/3}, \quad T = 202 \frac{C^{1/3}}{p_0^{5/6}} \end{array} \right. \quad (3.7)$$

где  $T$  — в мсек,  $r_m$  — в м,  $C$  — в кг.

Зная максимальный радиус газового пузыря, можно оценить ту часть  $Y$  энергии взрыва  $Q$ , которая остается в пузыре после излучения ударной волны [5]. Вычисления дают

$$Y = -\frac{4}{3} \pi p_0 r_m^3 + E(r_m) \quad \left( E(r_m) = \int_{V_m}^{\infty} p dV \right) \quad (3.8)$$

Для уравнения продуктов примем аддабату Джонса, пересчитанную для тэна в предположении, что величина энергии продуктов пропорциональна лишь энергии ВВ  $Q$

$$p \left( \frac{V}{C} \right)^{1.25} = 52 \cdot 10^6 \quad (p \text{ atm}, V \text{ см}^3, C \text{ кг}) \quad (3.9)$$

Приводим данные о распределении энергии подводного взрыва, подсчитанные по формуле (3.8) и путем экстраполяции формул (2.13)–(2.14) для удельной энергии  $\varepsilon$  ударной волны до заряда:

## Для тэна

| $\rho$ ,<br>$g/cm^3$ | $r_m$ ,<br>$cm/g$ | $p_0V_m$ ,<br>кал/г | $E$ ,<br>кал/г | $Y$ ,<br>кал/г | $\frac{Y}{Q}$ , % | $\varepsilon$ ,<br>кал/г | $\frac{\varepsilon}{Q}$ , % |
|----------------------|-------------------|---------------------|----------------|----------------|-------------------|--------------------------|-----------------------------|
| 1.6                  | 17.3              | 530                 | 87             | 617            | 44.2              | 830                      | 59,4                        |
| 1.2                  | 18                | 596                 | 85             | 681            | 48.7              |                          |                             |
| 0.4                  | 20.1              | 825                 | 78             | 903            | 64.5              | 610                      | 42.7                        |

## Для азота свинца

| $\rho$ ,<br>$g/cm^3$ | $r_m$ ,<br>$cm/g$ | $Y$ ,<br>кал/г | $\frac{Y}{Q}$ , % | $\varepsilon$ ,<br>кал/г | $\frac{\varepsilon}{Q}$ , % |
|----------------------|-------------------|----------------|-------------------|--------------------------|-----------------------------|
| 1.6                  | 12.2              | 209            | 58                | 155                      | 42.5                        |
| 0.85                 | 12.4              | 217            | 60.5              | 132                      | 36.2                        |

При переходе от взрыва тэна к взрыву азота свинца и уменьшении плотности ВВ происходит перераспределение энергии между ударной волной и продуктами. Больше энергии остается в продуктах, меньше идет в ударную волну.

Так при взрыве тэна с плотностью  $0.4 g/cm^3$  в пузыре идет на 46% энергии больше и соответственно на 36% уменьшается энергия ударной волны по сравнению с тэном при  $\rho = 1.6 g/cm^3$ . Ошибка в определении энергии составляет около 5%.

Приведенные выше данные показывают, что при изменении мощности подводного взрыва нарушается энергетическое подобие: происходит перераспределение энергии между ударной волной и продуктами взрыва.

При переходе от взрыва тэна к взрыву азота свинца той же энергии и уменьшении плотности заряжения уменьшаются давление во фронте ударной волны, скорость ударного фронта и продуктов взрыва, а также начальная энергия ударной волны.

В то же время ударный импульс и постоянная времени ударной волны, а также максимальный радиус, период первой пульсации и энергия газового пузыря увеличиваются. Возможность совершения взрывом полезной работы при этом возрастает.

Автор благодарен Костюченко В. Н. за ценнное обсуждение полученных результатов.

Поступила 13 V 1961

## ЛИТЕРАТУРА

- Костюченко В. Н. Параметры ударной волны в воде вблизи сферического заряда ВВ. ПМТФ, 1961, № 2.
- Христофоров Б. Д. Параметры ударной волны и газового пузыря при подводном взрыве зарядов из тэна малого веса. ПМТФ, 1960, № 2.
- Дубовик А. С., Чубраков А. И. Высокоскоростной фоторегистр непрерывного действия ЖФР. Оптикомеханическая промышленность, 1959, № 1.
- Rice and Wals I. Equation of state of Water to 250 Kilobars. The journal of chemical Physics. April 1957, Vol. 26, Number 4.
- Коул Р. Подводные взрывы. ИИЛ, 1959.